



UNIVERSITÄTS-
BIBLIOTHEK
PADERBORN

Die Statik im Stahlbetonbau

Beyer, Kurt

Berlin [u.a.], 1956

Zahlenbeispiel

[urn:nbn:de:hbz:466:1-74292](https://nbn-resolving.org/urn:nbn:de:hbz:466:1-74292)

Symmetrischer Stockwerkrahmen mit drei Pfosten. Symmetrisch zugeordnete Knotendrehwinkel φ_J, χ_J , symmetrisch zugeordnete Stabdrehwinkel ϑ_i, ν_i (Abb. 330).

Belastung der äußeren Pfosten und der Riegel. Umordnung der Belastung in den symmetrischen und den antisymmetrischen Anteil.

$$\left. \begin{aligned} \mu_J &= \frac{\varphi_J - \chi_J}{2}, & \mu_K &= 0, \\ \varrho_J &= \frac{\varphi_J + \chi_J}{2}, & \varrho_K &= 2 \frac{\varphi_K}{2}, \\ \mu_i &= \frac{\vartheta_i - \nu_i}{2} = 0, & \varrho_i &= \frac{\vartheta_i + \nu_i}{2} = \psi_i. \end{aligned} \right\} (602)$$

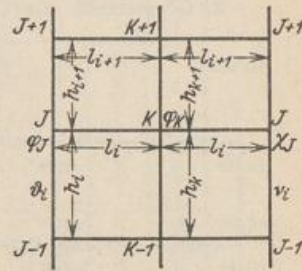


Abb. 330.

Symmetrischer Anteil: $\varrho_J = 0, \mu_J = {}^{(1)}\varphi_J = -{}^{(1)}\chi_J \neq 0;$
 $\varrho_K = {}^{(1)}\varphi_K = 0, \psi_i = {}^{(1)}\vartheta_i = {}^{(1)}\nu_i = 0.$

Die statischen Bedingungen für die äußeren Kräfte an der Kette ${}^{(1)}\Gamma_J$ und den Bewegungszustand $\dot{\mu}_J = 1$ mit $\dot{\varphi}_J = 1, -\dot{\chi}_J = 1$ werden nach (597) auf S. 357 angeschrieben.

$${}^{(1)}a_{J(J-1)} = -2 \left(\frac{2}{h'_i} \right), \quad {}^{(1)}a_{JJ} = -2 \left(\frac{4}{h'_i} + \frac{4}{h'_i} + \frac{4}{h'_{i+1}} \right), \quad {}^{(1)}a_{J(J+1)} = -2 \left(\frac{2}{h'_{i+1}} \right),$$

$${}^{(1)}a_{J0} = -2 (M_{J0}^{(i)} + M_{J0}^{(i)} + M_{J0}^{(i+1)}).$$

Antisymmetrischer Anteil: $\mu_J = 0, \varrho_J = {}^{(2)}\varphi_J = {}^{(2)}\chi_J \neq 0;$
 $\varrho_K = {}^{(2)}\varphi_K \neq 0, \psi_i = {}^{(2)}\vartheta_i = {}^{(2)}\nu_i \neq 0.$

Die statischen Bedingungen ${}^{(2)}\delta A_J = 0, {}^{(2)}\delta A_K = 0, {}^{(2)}\delta A_i = 0$ für die äußeren Kräfte an den Stabketten ${}^{(2)}\Gamma_J, {}^{(2)}\Gamma_K, {}^{(2)}\Gamma_i$ erhalten dieselbe Form wie die Gleichungen (599) bis (601) beim Stockwerkrahmen mit vier Pfosten. Dasselbe gilt bis auf die folgenden Angaben auch von deren Vorzeichen:

$${}^{(2)}a_{KK} = -2 \left(\frac{4}{h'_i} + \frac{2}{h'_k} + \frac{2}{h'_{k+1}} \right), \quad {}^{(2)}a_{Ki} = {}^{(2)}a_{(K-1)i} = 2 \left(\frac{3}{h'_k} \right), \quad a_{K(i+1)} = 2 \left(\frac{3}{h'_{k+1}} \right),$$

$${}^{(2)}a_{ii} = -2 \left(\frac{12}{h'_i} + \frac{6}{h'_k} \right), \quad {}^{(2)}a_{K0} = -2 M_{K0}^{(i)}, \quad {}^{(2)}a_{i0} = 2 (M_{i0}^{(i)} + h_i \sum_{j=1}^N W_K).$$

Der Ansatz für den symmetrischen Anteil ist wiederum dreigliedrig, der Ansatz für den antisymmetrischen Anteil wird nach S. 357 aufgelöst.

Statische Untersuchung eines symmetrischen Stockwerkrahmens mit vier Pfosten (Abb. 331); Binderabstand: 5,20 m.

1. Geometrische Grundlagen. Die Stablängen und die Trägheitsmomente der Querschnitte sind in Abb. 331 eingetragen. $J_c = 38,2 \text{ dm}^4$. Die auf drei Stellen abgerundeten reziproken Werte der reduzierten Stablängen gelten als fehlerfreie geometrische Grundlage der Untersuchung.

Index	i/red. Länge		Index	i/red. Länge	
	Riegel	Pfosten		Riegel	Pfosten
a	0,167	0,562	h	0,314	0,787
b	0,167	0,340	i	0,314	0,455
c	0,167	0,254	k	0,314	0,341
d	0,167	0,254	l	0,314	0,341
e	0,167	0,198	m	0,314	0,254
f	0,167	0,085	n	0,314	0,106
g	0,105	0,059	r	0,211	0,059

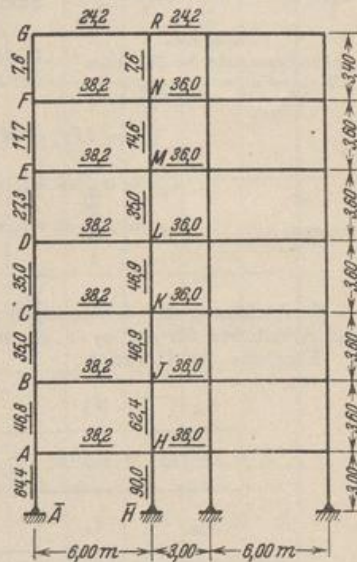


Abb. 331. Die unterstrichenen Zahlen bedeuten die Trägheitsmomente in dm^4 .

A. Symmetrie der Belastung.

Lösung nach S. 357 mit $\varphi_J = -\chi_J$, $\varphi_K = -\chi_K$, $\vartheta_i = 0$, $\nu_i = 0$ (Abb. 329).

2. Geometrisch überzählige Größen des Ansatzes.

so daß
$$\mu_J = \frac{1}{2}(\varphi_J - \chi_J), \quad \mu_K = \frac{1}{2}(\varphi_K - \chi_K),$$

$$\varphi_J = -\chi_J = \mu_J, \quad \varphi_K = -\chi_K = \mu_K.$$

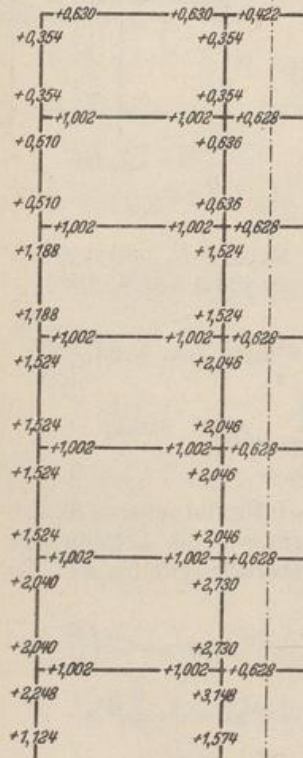


Abb. 332.
Anschlußmomente des Zustandes Σ_1 ($\mu_A = \mu_B = \dots = \mu_R = 1$).

3. Matrix der statischen Bedingungen (597) u. (598). Entwicklung der Vorzahlen der Gleichungen:

$$a_{AA} = -2 \left(\frac{4}{h'_a} + \frac{4}{l'_a} + \frac{4}{h'_b} \right) = -8,552;$$

$$a_{AB} = -2 \left(\frac{2}{h'_b} \right) = -1,360; \quad a_{AH} = -2 \left(\frac{2}{l'_a} \right) = -0,668;$$

$$a_{AC} = -2 \left(\frac{2}{l'_c} \right) = -0,668; \quad a_{AJ} = -2 \left(\frac{2}{h'_k} \right) = -1,364;$$

$$a_{AK} = -2 \left(\frac{2}{h'_l} \right) = -1,364;$$

$$a_{KK} = -2 \left(\frac{2}{l'_k} + \frac{4}{h'_k} + \frac{4}{h'_i} + \frac{4}{l'_c} \right) = -8,048.$$

Ergebnis der vollständigen Rechnung auf S. 361.

4. Nachprüfung der Vorzahlen der Matrix. Die Summe der Vorzahlen einer Gleichung $\delta A_J = 0$

$$a_{J\Sigma} = \sum_{K=A}^{K=R} a_{JK}$$

kann als virtuelle Arbeit der Anschlußmomente aus $\mu_A = \mu_B = \dots = \mu_R = 1$ (Zustand Σ_1 , vgl. Abb. 332) an der mit $\mu_J = 1$ angetriebenen kinematischen Kette Γ_J nachgeprüft werden, z. B.

$$a_{L\Sigma} = -2 (M_L^{(i)} + M_L^{(d)} + M_L^{(l)} + M_L^{(m)}) = -10,400.$$

Die Summe $a_{\Sigma\Sigma}$ aller Vorzahlen der Matrix kann ebenfalls als virtuelle Arbeit der Stabendmomente des Zustandes Σ_1 an der mit $\mu_A = \mu_B = \dots = \mu_R = 1$ angetriebenen kinematischen Kette geprüft werden. Sie ist demnach gleich der negativen Summe der Stabendmomente an den Knoten.

5. Belastungsglieder a_{J0} für senkrechte Belastung der Seitenfelder mit $q = 2,08$ t/m. Der geometrisch bestimmte Anteil $M_{J0}^{(b)}$ der Anschlußmomente ist bei allen belasteten Riegelstäben gleich.

$$-M_{A0}^{(a)} = M_{H0}^{(a)} = \frac{q \cdot l^2}{12} = \frac{2,08 \cdot 6,0^2}{12} = 6,24 \text{ mt},$$

$$a_{A0} = a_{B0} = a_{C0} = a_{D0} = a_{E0} = a_{F0} = +2 \cdot 6,24 = +12,48,$$

$$a_{H0} = a_{J0} = a_{K0} = a_{L0} = a_{M0} = a_{N0} = -2 \cdot 6,24 = -12,48,$$

$$a_{G0} = a_{R0} = 0.$$

6. Auflösung der Gleichungen durch Iteration nach Abschn. 30. Die Iteration stützt sich auf Annahmen für $\mu_B, \mu_C, \dots, \mu_R$ in $\delta A_A = 0$, z. B. $\mu_B = 0, \mu_C = 0, \dots, \mu_R = 0$.
Ergebnis der Iteration:

μ_A	μ_B	μ_C	μ_D	μ_E	μ_F	μ_G
+ 1,2775	+ 1,5850	+ 1,8206	+ 1,8652	+ 2,8981	+ 5,8147	- 1,2650
μ_H	μ_J	μ_K	μ_L	μ_M	μ_N	μ_R
- 0,8997	- 1,1331	- 1,2823	- 1,3424	- 2,0746	- 3,9995	+ 0,6842

	Q_A	Q_B	Q_C	Q_D	Q_E	Q_F	Q_G	Q_H	Q_I	Q_K	Q_L	Q_M	Q_N	Q_R	Q_a	Q_b	Q_c	Q_d	Q_e	Q_f	Q_g	
A	-8,552	-1,360						-0,668														
B	-1,360	-6,088	-1,016						-0,668													
C		-1,016	-5,400	-1,016																		
D			-1,016	-4,952	-0,792																	
E				-0,792	-3,600	-0,340																
F					-0,340	-2,488	-0,236															
G						-0,236	-1,312															
H	-0,668							-15,040	-1,820													
J		-0,668							-1,820	-11,472	-1,364											
K			-0,668								-1,364	-10,560	-1,364									
L				-0,668									-1,364	-9,864								
M					-0,668																	
N						-0,668																
R							-0,420															
a	+6,744							+9,444														
b	+4,080	+4,080						+5,460	+5,460													
c		+3,048	+3,048							+4,092	+4,092											
d			+3,048	+3,048							+4,092	+4,092										
e				+2,376	+2,376																	
f					+1,020	+1,020																
g						+0,708	+0,708															

7. Superposition der Anteile der Stabendmomente aus Belastung und Formänderung nach (530)

$$M_{\sigma}^{(c)} = 1/h'_c \cdot (4\varphi_c + 2\varphi_B) = 0,254 \cdot 10,4524 = +2,655 \text{ mt,}$$

$$M_{\sigma}^{(e)} = M_{\sigma_0}^{(e)} + 1/l'_c \cdot (4\varphi_c + 2\varphi_K) = -6,24 + 0,167 \cdot 4,7178 = -5,452 \text{ mt,}$$

$$M_{\sigma}^{(d)} = 1/h'_d \cdot (4\varphi_{\sigma} + 2\varphi_D) = 0,254 \cdot 11,0128 = +2,797 \text{ mt,}$$

$$M_{N}^{(a)} = 1/h'_n \cdot (4\varphi_N + 2\varphi_M) = 0,106 (-20,1472) = -2,136 \text{ mt,}$$

$$M_{N}^{(f)} = M_{N_0}^{(f)} + 1/l'_f \cdot (4\varphi_N + 2\varphi_F) = +6,24 + 0,167 (-4,3686) = +5,510 \text{ mt,}$$

$$M_{N}^{(n)} = 1/l'_n \cdot 2\varphi_N = 0,314 (-7,9990) = -2,512 \text{ mt,}$$

$$M_{N}^{(r)} = 1/h'_r \cdot (4\varphi_N + 2\varphi_R) = 0,059 (-14,6296) = -0,863 \text{ mt.}$$

Die Rechnung wird für alle Stabknoten durchgeführt und das Ergebnis in der linken Hälfte der Abb. 333 eingetragen. Der Betrag für $p l^2/8 = 9,36 \text{ mt}$ und $p l^2/12 = 6,24 \text{ mt}$ dient als Vergleich.

Q_M	Q_N	Q_R	ψ_a	ψ_b	ψ_c	ψ_d	ψ_e	ψ_f	ψ_g	a_{J0}	Σa_{JK}
			+ 6,744	+ 4,080							+ 0,244
				+ 4,080	+ 3,048						- 2,004
					+ 3,048	+ 3,048					- 2,004
						+ 3,048	+ 2,376				- 2,004
-0,668							+ 2,376	+ 1,020			- 2,004
	-0,668							+ 1,020	+ 0,708		- 2,004
		-0,420							+ 0,708		- 1,260
			+ 9,444	+ 5,460							- 2,624
				+ 5,460	+ 4,092						- 5,772
					+ 4,092	+ 4,092					- 5,772
-1,364							+ 4,092	+ 3,048			- 5,772
	-1,016							+ 3,048	+ 1,272		- 5,772
-9,864									+ 1,272	+ 0,708	- 5,772
	-7,984	-0,424								+ 0,708	- 5,772
-1,016											- 5,772
	-0,424	-6,424	-0,236								- 5,772
		-0,236	-3,844							+ 0,708	- 3,792
				-32,376						+ 68,70	- 16,188
					-19,080					+ 70,56	0
						-14,280				+ 57,60	0
+ 4,092							-14,280			+ 44,64	0
+ 3,048								-10,848		+ 31,68	0
+ 3,048										+ 18,72	0
	+ 1,272	+ 1,272						-4,584			0
		+ 0,708	+ 0,708						-2,832	+ 5,78	0

Die Anschlußmomente, bei belasteten Stäben unter Berücksichtigung der äußeren Kräfte, führen durch die Momentengleichungen der Stäbe zu den Querkraften. Diese liefern die Längskräfte aus den Gleichgewichtsbedingungen an den Knoten. In Abb. 333 sind auf der rechten Seite die Längs- und Querkräfte angegeben.

8. Nachprüfung der Rechnung nach S. 331. Die Summe der Stabendmomente ist an jedem Knotenpunkt Null, z. B. am Knotenpunkt N

$$\Sigma M_N = -2,136 + 5,510 - 2,512 - 0,863 = -0,001 \approx 0.$$

B. Antimetrie der Belastung.

Lösung nach S. 358 mit $\varphi_J = \chi_J$, $\varphi_K = \chi_K$, $\vartheta_i = \nu_i$ (Abb. 329).

2. Geometrisch überzählige Größen.

so daß

$$\begin{aligned} Q_J &= \frac{1}{2}(\varphi_J + \chi_J), & Q_K &= \frac{1}{2}(\varphi_K + \chi_K), & \psi_i &= \frac{1}{2}(\vartheta_i + \nu_i), \\ \varphi_J &= \chi_J = Q_J, & \varphi_K &= \chi_K = Q_K, & \vartheta_i &= \nu_i = \psi_i. \end{aligned}$$

kann als virtuelle Arbeit der Anschlußmomente aus $Q_A = Q_B = \dots = Q_R = \psi_a = \psi_b = \dots = \psi_o = 1$ (Zustand Σ_2 , vgl. Abb. 334) an der mit $\dot{Q}_J = 1$ oder $\dot{\psi}_b = 1$ angetriebenen kinematischen Kette Γ_J oder Γ_b nachgeprüft werden, z. B.

$$a_{L\Sigma} = -2 (M_L^{(\bar{l})} + M_L^{(d)} + M_L^{(\bar{l})} + M_L^{(\bar{m})}) = -5,772,$$

$$a_{a\Sigma} = +2 (M_A^{(\bar{a})} + M_A^{(\bar{a})} + M_H^{(\bar{h})} + M_H^{(\bar{h})}) = -16,188.$$

Die Zeilensummen $a_{b\Sigma} \dots a_{o\Sigma}$ sind Null, da der Zustand Σ_2 Pfostenendmomente nur an den Pfosten \bar{a} und \bar{b} erzeugt. Die Summe $a_{\Sigma\Sigma}$ aller Vorzeichen der Matrix besteht daher auch nur aus der negativen Summe der Riegelanschlußmomente und der positiven Summe der Pfostenendmomente bei \bar{a} und \bar{b} .

$$a_{\Sigma\Sigma} = 62,500 = -2 (-25,854) - 2 (-5,396) = 62,500.$$

5. Belastungsglieder bei Eintragung einer waagerechten Belastung aus Wind $w = 1 \text{ t/m}$ in den Randknoten.

Knotenlasten in t:

W_A	W_B	W_C	W_D	W_E	W_F	W_G
3,3	3,6	3,6	3,6	3,6	3,5	1,7

$$a_{A0} = a_{B0} = \dots = a_{R0} = 0.$$

$$a_{a0} = \dot{i}_a \cdot h_a \sum_A W_E = 3,0 \cdot 22,9 = 68,70; \quad a_{b0} = \dot{i}_b \cdot h_b \sum_B W_K = 3,6 \cdot 19,6 = 70,56.$$

$$a_{c0} = 57,60; \quad a_{d0} = 44,64; \quad a_{e0} = 31,68; \quad a_{f0} = 18,72.$$

$$a_{g0} = \dot{i}_g \cdot h_g W_G = 3,4 \cdot 1,7 = 5,78 \text{ (Abb. 335)}.$$



Abb. 335. Kinematische Kette Γ_a .

6. Auflösung der Gleichungen. Nach der Anweisung auf S. 357 können zunächst die unbekannt Stabdrehwinkel ψ aus den Gleichungen $\delta A_J = 0$ eliminiert werden, so daß 14 Gleichungen mit 14 Unbekannten entstehen. Diese werden durch Iteration gelöst. Die Anfangswerte ergeben sich durch Auflösung der voneinander unabhängigen dreigliedrigen Ansätze, die bei Vernachlässigung der äußeren Glieder erhalten werden.

Die Iteration kann sich aber auch auf eine erste Näherungslösung des vollständigen Ansatzes mit 21 Gleichungen stützen, um die langwierige Elimination zu umgehen. Dabei wird mit Vorteil das Ergebnis der angenäherten Berechnung der ψ_i nach Abschn. 51 verwendet.

Ergebnis der Iteration:

Q_A	Q_B	Q_C	Q_D	Q_E	Q_F	Q_G
7,810	9,482	8,015	6,191	4,669	2,706	1,238
Q_H	Q_J	Q_K	Q_L	Q_M	Q_N	Q_R
6,408	7,215	6,011	4,544	2,878	1,253	0,423
ψ_a	ψ_b	ψ_c	ψ_d	ψ_e	ψ_f	ψ_g
5,618	11,294	11,558	9,183	7,385	6,871	3,446

7. Superposition der Anteile der Stabendmomente aus Belastung und Formänderung nach (530):

$$M_O^{(\bar{o})} = 1/h'_c \cdot (4 \varphi_O + 2 \varphi_B - 6 \psi_c) = -4,654 \text{ mt},$$

$$M_O^{(o)} = 1/l'_c \cdot (4 \varphi_O + 2 \varphi_X) = +7,362 \text{ mt},$$

$$M_C^{(\bar{c})} = 1/h'_d \cdot (4 \varphi_C + 2 \varphi_D - 6 \psi_d) = -2,707 \text{ mt},$$

$$M_N^{(\bar{n})} = 1/h'_n \cdot (4 \varphi_N + 2 \varphi_M - 6 \psi_f) = -3,229 \text{ mt},$$

$$M_N^{(n)} = 1/l'_f \cdot (4 \varphi_N + 2 \varphi_F) = +1,741 \text{ mt},$$

$$M_n^{(\bar{n})} = 1/l'_n \cdot (4 \varphi_N + 2 \varphi_N) = +2,361 \text{ mt},$$

$$M_n^{(n)} = 1/h'_r \cdot (4 \varphi_N + 2 \varphi_R - 6 \psi_g) = -0,874 \text{ mt}.$$

